



TOGETHER
for a sustainable future

OCCASION

This publication has been made available to the public on the occasion of the 50th anniversary of the United Nations Industrial Development Organisation.



TOGETHER
for a sustainable future

DISCLAIMER

This document has been produced without formal United Nations editing. The designations employed and the presentation of the material in this document do not imply the expression of any opinion whatsoever on the part of the Secretariat of the United Nations Industrial Development Organization (UNIDO) concerning the legal status of any country, territory, city or area or of its authorities, or concerning the delimitation of its frontiers or boundaries, or its economic system or degree of development. Designations such as "developed", "industrialized" and "developing" are intended for statistical convenience and do not necessarily express a judgment about the stage reached by a particular country or area in the development process. Mention of firm names or commercial products does not constitute an endorsement by UNIDO.

FAIR USE POLICY

Any part of this publication may be quoted and referenced for educational and research purposes without additional permission from UNIDO. However, those who make use of quoting and referencing this publication are requested to follow the Fair Use Policy of giving due credit to UNIDO.

CONTACT

Please contact publications@unido.org for further information concerning UNIDO publications.

For more information about UNIDO, please visit us at www.unido.org

19503

151
JLW.

Ciudad de La Habana, 26 de Noviembre de 1991.

Informe Anual / 1991 (contrato No. 91/014), de las actividades realizadas por el Centro de Ingeniería Genética y Biotecnología (Cuba) para el proyecto de Resistencia a Virus en Papa. (DP/RLA/83/003).

En este informe damos respuesta a los siguientes aspectos acordados en el referido contrato:

Actividad 1: Desarrollo de sistema ELISA para la detección del virus "Y" de la papa (actividad 1.4 del proyecto general).

Se logró establecer un sistema de diagnóstico tipo ELISA para la detección del virus "Y" de la papa, utilizando anticuerpos polyclonales y monoclonales anti-PVY.

Este sistema es igual que los kits elaborados para diagnosticar los virus PVY y PLRV de la papa (Fig. 1) han sido autorizados para el Ministerio de la Agricultura de Cuba para la certificación de toda la semilla agrícola nacional que se empleará en la próxima campaña (91/92) de cultivo de papa. Actualmente el Instituto Nacional de Sanidad Agraria los emplea para diagnosticar estas enfermedades en nuestro país.

Podemos por tanto afirmar que esta actividad se cumplió totalmente en la etapa con los resultados esperados.

Actividad 2: Obtención de genes que codifican para la proteína de la cápside del PLRV (actividad 3.1 y 3.2 del proyecto general).

Para aislar el gen que codifica para la proteína de la cápside del PLRV (CP-PLRV) se siguió la siguiente estrategia (Fig. 2): se purificó el ARN genómico del virus y se realizó un cADN, posteriormente se diseñaron oligonucleótidos de la región 5' y 3' del gen que codifica para la CP-PLRV; en base a la secuencia del virus reportada en la literatura se realizó un PCR (reacción en cadena de la polimerasa) a partir del cADN. El fragmento amplificado tenía un tamaño de 670 pb como era de esperar, y fue introducido en el vector pUC-18. En este vector no fue posible detectar niveles apreciables de expresión; posiblemente que sea producto de la estabilidad del mARN de nuestro gen, o que la proteína en este caso despedazo. Posteriormente se clonó el gen en el vector de expresión pEX1-3, donde según Stanley K. Foster et al. (1987) las proteínas correspondientes a la cápside y la proteína de la membrana nuclear las proteínas totales pueden ser separadas en 100% mediante la utilización de

anticuerpos anti-PLRV que algunos de los clones que contenían el gen expresaban la proteína de la cápside del PLRV, cuando se inducía el sistema.

Cuando estos clones fueron inducidos a 42°C y analizados en SDS-PAGE se observó una banda muy fuerte correspondiendo a un peso molecular de 116 kd. En análisis por western blot, empleando IgG anti-PLRV, solo se observó señal positiva en los clones donde la proteína de la cápside estaba fusionada a la β -galactosidasa.

Actividad 3: Secuenciación de clones de PLRV (actividad 3.2.1 del proyecto).

Este aspecto no lo hemos concluido totalmente, ya que la secuencia realizada a la proteína de la cápside del aislado cubano (Fig. 3.), difiere en algunos nucleótidos con otras secuencias publicadas anteriormente. En estos momentos nos encontramos realizando nuevas secuencias para corroborar estas posibles divergencias.

Actividad 4: Adaptación de técnicas de transformación de la papa a la variedad Désirée.

Para los experimentos de transformación usamos plantas de papas libres de patógenos de las siguientes variedades: Désirée, Rensala, Spunta, Chubia y Chieftain, crecidas a 27° con un fotoperíodo de 16h y una intensidad de 9000 lux. Los explantes fueron micropropagados cada 4 semanas, transfiriendo un segmento del tallo (conteniendo una hoja y una yema) a un medio MS (Murashige and Skoog 1962) modificado (sales del N, ácido gibberélico 0.1 mg/l, glicina 2 mg/l, ácido nicotínico 0.5 mg/l, piridoxina 0.5 mg/l, thiamina 0.4 mg/L).

Regeneración:

La regeneración de plantas de papas es un proceso complejo que depende del tipo de explantes que se utilice y la composición del medio a emplear. Hasta el momento se ha reportado la regeneración de discos de tubérculos, tallos, discos de hojas (Stiekema, 1988; Newell in press; Tavazzi, 1988; Wenzler, 1988 y De Block, 1988). Nosotros hemos obtenido mejores resultados en los experimentos de regeneración a partir de discos de hojas que de discos de tubérculos. Para la regeneración de plantas de papas se evaluaron diferentes medios (Tabla 1), y acorde con los resultados obtenidos en estos experimentos, seleccionamos, para evaluar la capacidad de regeneración de las diferentes variedades, los medios CPTZ (Wenzler 1987), WII (Tavazzi 1988). Los trabajos relacionados con la regeneración de plantas de papa se centraron fundamentalmente en la variedad Désirée, pues ésta constituye aproximadamente el 70% de la producción de papa de importancia.

Transformación Genética de Plantas de Papa.

Para los experimentos de transformación se usaron hojas de un tamaño de 5 X 3mm, provenientes de plantas crecidas "in vitro". Las cepas de *A. tumefaciens*: pGV3850::pCib-G7X631, pGV3850::pCib-Y14 y pGV3850::pCib-LR4 se crecieron hasta la fase estacionaria. Las hojas fueron cortadas en la base y colocadas con el envés hacia arriba en una placa petri, conteniendo una dilución de 1/10 del Agrobacterium en medio MS. Después de 2 días de co-cultivación a 25°C en la oscuridad, los explantes se lavaron con medio MS para quitar el exceso de Agrobacterium y posteriormente se pusieron sobre medio CD3Z, contenido Clorotán (500 mg/L) y Kanamicina (100 mg/L) hasta la formación de brotes.

Después de 6 semanas los brotes se individualizaron y se pusieron en el medio de propagación para papa, el cual contenía los dos antibióticos anteriormente mencionados. Se probaron diferentes tipos y concentraciones de zeatina con el propósito de aumentar la capacidad de regeneración de los explantes (Tabla. 3).

Como se conoce que la acetosirinacona estimula la enraización, nosotros realizamos algunos experimentos en éste sentido, con el objetivo de aumentar la eficiencia de nuestras transformaciones (Tabla. 4).

Actividad 5: Transformación de plantas de papa con híbridos que codifican para la proteína de la cápside del PVX, PVY y PLRV.

Discos de hojas de *Solanum tuberosum* L. c.v. Désirée fueron infectadas con las cepas de *A. tumefaciens*: pGV3850::pCib-G7X631, pGV3850::pCib-Y14 y pGV3850::pCib-LR4, mediante el protocolo descrito anteriormente. Las plantas de papa que contenían en su genoma el gen que codifica para el virus fueron seleccionadas por su crecimiento en kanamicina a 100 µg/ml (Fig. 4). Brotes de 3 a 5mm de tamaño se excindieron y se colocaron en un medio de enraizamiento conteniendo Kanamicina 100 µg/ml (Fig. 5). Cuando las plantas alcanzaron un tamaño aproximadamente de 5 cm, fueron transferidas a invernaderos con condiciones controladas (Fig. 6.).

Para demostrar la integración de la proteína de la cápside de los virus PVX, PVY y PLRV, en el genoma de las plantas de papa, se utilizó la técnica del PCR (Polymerase Chain Reaction), para ésto se purificó ADN total de hojas de plantas (aproximadamente 30 clones diferentes para cada construcción) crecidas en Kanamicina 100 µg/ml.

En todos los casos la amplificación por PCR fue realizada en un volumen de 0.1 ml conteniendo 1.5 mM de Tris-HCl (pH-8.3), 50 mM de KCl, 2 mM de $MgCl_2$, 0.1% de gelatina, 0.2 mM de cada dATP, dCTP, dGTP + dTTP, 0.1 μ M de cada oligonucleótido, 1 μ g de ADN total y 2.8 U de laz ADN pol. (Enzibiot, CIGB, Cuba). La amplificación fue realizada en un ADN Thermal Cycler (Perkin Elmer Cetus) programado para 30 ciclos de 3 min a 95°C para la desnaturalización (melting), seguido por 1 min a 94°C, 1 min a 55°C y 1 min a 72°C. Los productos del PCR fueron visualizados por electroforesis en gel de agarosa 0.8%, teñidos con etidio bromide y fotografiados (Fig. 7, Fig. 9 y Fig. 11). Posteriormente las bandas amplificadas fueron analizadas por southern blot (Fig. 8, Fig. 10 + Fig. 12), utilizando para la hibridación los genes que codifican para las proteínas de las cápsides del PVX, PVY o PLRV respectivamente.

Actividad 6: Entrenamiento y superación técnica.

Por cuanto dos nuevos investigadores con experiencia en biología molecular y entrenamiento en instituciones extranjeras se han incorporado al proyecto, consideramos que en estos momentos era más conveniente utilizar los fondos destinados para entrenamiento con los fines de adquirir reactivos y maquinarias indispensables para asegurar la continuidad del proyecto, ya que el mismo se viene desarrollando más aceleradamente de lo previsto.

Conclusiones: En general todos los aspectos comprometidos por nosotros en el marco del proyecto para este año se han cumplido satisfactoriamente.

Referencias.

- 1- De Block, M. 1988. *Theor. Appl. Genet.* 76:767-774.
- 2- Mureshige, T. and F. Skoog. 1962. *Physiol. Plant.* 15:473-497.
- 3- Newell, C.A. in press. *Plant Cell Reports.*
- 4- Stanley, K. et al. 1984. *EMBO J.* 3:1429.
- 5- Stiekelman, W.G. et al. 1968. *Plant Cell Report.* 7:47-50.
- 6- Tavazza, R. et al. 1988. *Plant Science.* 59:175-181.
- 7- Wenzler, H. et al 1988. *Plant Science.* 63:79-85.

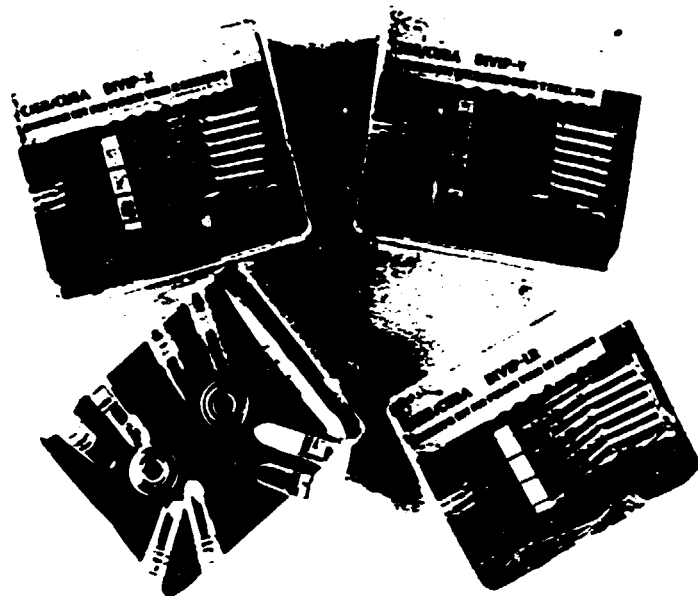


Fig. 1. Sistemas de diagnosticos desarrollados para la detección de los virus X, Y y LP de la papa.

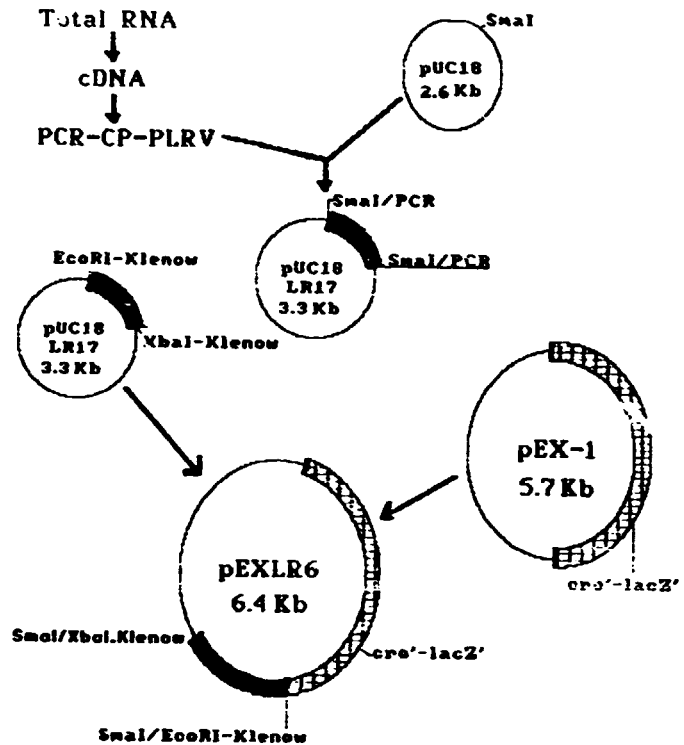


Fig. 2. Construction of the recombinant plasmid (pEXLR6) for the PLRV coat protein expression in *E. coli*.

ATG AGT ACG GTC GTG GTT AAA GGA AAT GTC AAT GGT ~~G~~T_g CAA CAA
 CCA AGA AGG CGA AGA AGG CAA TCC CTT CGC AGG CGC GCT AAC AGA GTT
 CAG CCA GTG GTT ATG GTC ACG GCC CCT GGG CAA CCC AGG CGC CGA AGA
 CGC AGA AGA GGA GGC AAT CGC CGC TCA AGA AGA ACT GGA GTT CCC CGA
 G_gA UGA GGC TCA AGC GAG ACA TTC GTG TTT ACA AAG GAC AAC TTC GIG
 G_gC AAC TCC CAA GGA AGT TTC AGC TTC GGG UUG AGT CTA TCA GAC TG1
 G_gT GCA TTC AAG GAT GGA ATA LTC HAG GGC TAC CA! GAG TAT AAG ATC
 AGA AGC ATC TTA CTT CAG TTC GTC AGC GAG GCC TCT TCC ACC TCC TCC
 G_aT TCC ATC GCT TAT GAG TTG GAL CUL CAT TGC AAA GTA TCA TCC CTC
 CAG TCC TAC GTC AAC ~~A~~_a TTC CAA ATT ACG AAG GCC GGC GCC AAA ACT
 TAT CAA GCG CGG ATG ATA AAC GGG GTA GAA TGG CAC GAT TCT TCT GAG
 GAT CAG TGC CGG ATA CTG TGG AAG GGA AAT GGA AAA TCT TCA GAT ACC
 G_gA GGA TCC TTC AGA GTC ACC ATC AGG GTG GCT TTG CAA AAC CCC AAA
 TAC

Fig. 3. Sequences of CP-PLRV. The strikeout bases are different from reported sequences

Medium	Hormone composition (mg/L)					Shoot Formation
	Zeatine	ANA	AIA	Giberellic Acid	BAP	
RT	---	---	1	10	1	0
RS	2	0.2	---	20	---	0
CD3Z	3	---	---	3	---	multi- shoot
W(I)	---	---	0.2	10	2.24	
W(II)	---	---	---	10	2.24	multi- shoot

Table. 1: Medium evaluation in the Potato regeneration.

RT, RS, CD3Z, W(I) and W(II) are MS basal medium supplemented with different hormone.

Variety	Medium	Explant number	Shoot formation (multi-shoot)
Red Pontiac	W	50	2
	CD3Z	50	6
Claudia	W	50	12
	CD3Z	50	1
Spunta	W	50	50
	CD3Z	50	0
Baraka	W	50	23
	CD3Z	50	6
Chieftain	W	50	0
	CD3Z	50	0
Desire	W	50	15
	CD3Z	50	30

Type	Explant number	Plants number
------	-------------------	------------------

Zearine Riboside	49	56
------------------	----	----

Zearine	49	19
---------	----	----

Zearine Evaluation.
Cultivar: Dsire.
Construction: pGV3850::pCib-GZX631.

Treatment	Total explants	Total shoots
-----------	-------------------	-----------------

Control Km (+)	50	0
-------------------	----	---

Control Km (-)	50	45
-------------------	----	----

Acetosy- ringone (+)	184	102
-------------------------	-----	-----

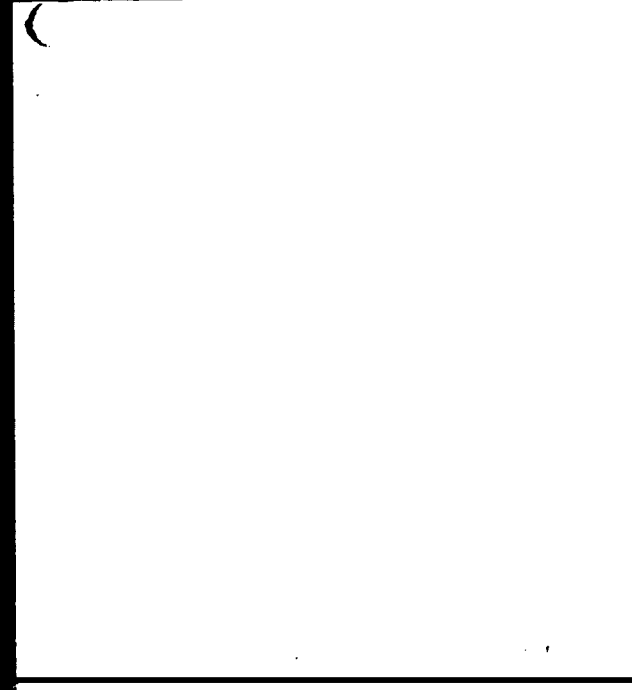
Acetosy- ringone (-)	180	74
-------------------------	-----	----

Table 4: Acetosyringone effect in potato transformation.
Cultivar: Dsire.
Construction: pGV3850::pCib-GZX631.

Fig. 4. Transformation of *Solanum tuberosum* L. c.v. Désirée via *Agrobacterium tumefaciens*.

The left dish shows callus formation at the junction of the petiole and the stem, after 6 weeks of culture in the presence of kanamycin. The right dish shows untransformed control plants treated with kanamycin.







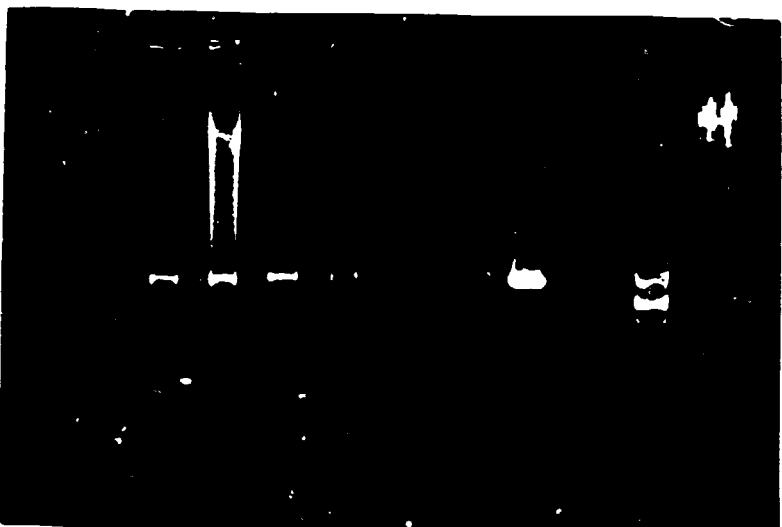


Fig. 1. RT-PCR identification of PVX coat protein gene transcripts in total RNA extracted from potato plants.

- | | |
|------------------|--|
| Line 1: Clon X-1 | Line 5: Clon X-5 |
| Line 2: Clon X-2 | Line 6: Untransformed plant |
| Line 3: Clon X-3 | Line 7: Positive control (100pg pUCX6) |
| Line 4: Clon X-4 | |



Fig. 2. Agarose gel analysis of the PCR products from potato plants transformed with the PVX coat protein gene.

- | | |
|--|------------------|
| Line 1: Positive control (100pg pUCX6) | Line 5: Clon X-3 |
| Line 2: Untransformed potato plant | Line 6: Clon X-4 |
| Line 3: Clon X-1 | Line 7: Clon X-5 |
| Line 4: Clon X-2 | |

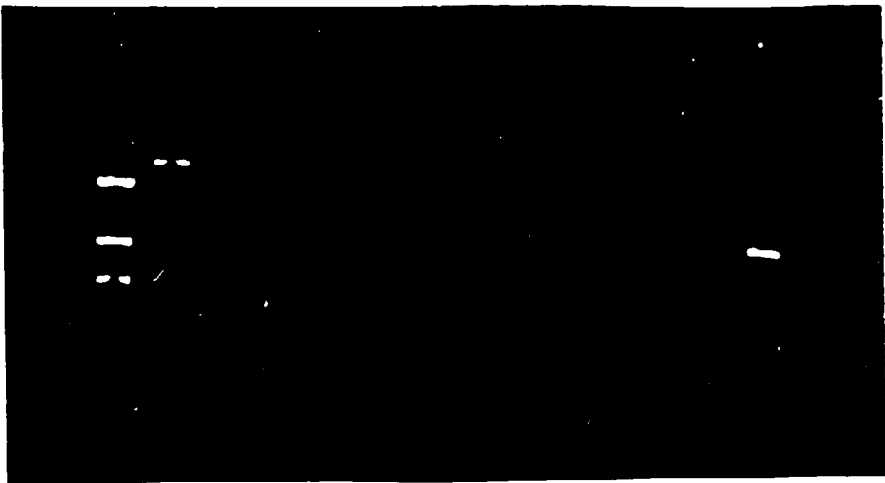


Fig. 9. Agarose gel electrophoresis of the PCR products from the 13 different potato clones and the pGY14 plasmid.

Line 1: MW (pIC/Taq= 1.4, 0.73, 0.42kb)	Line 8: Clon Y-31
Line 2: Lineal plasmid (pGY14)	Line 9: Clon Y-32
Line 3: Untransformed potato plant	Line 10: Clon Y-33
Line 4: Clon Y-24	Line 11: Clon Y-34
Line 5: Clon Y-28	Line 12: Clon Y-35
Line 6: Clon Y-29	Line 13: 100ng of pGY14
Line 7: Clon Y-3	

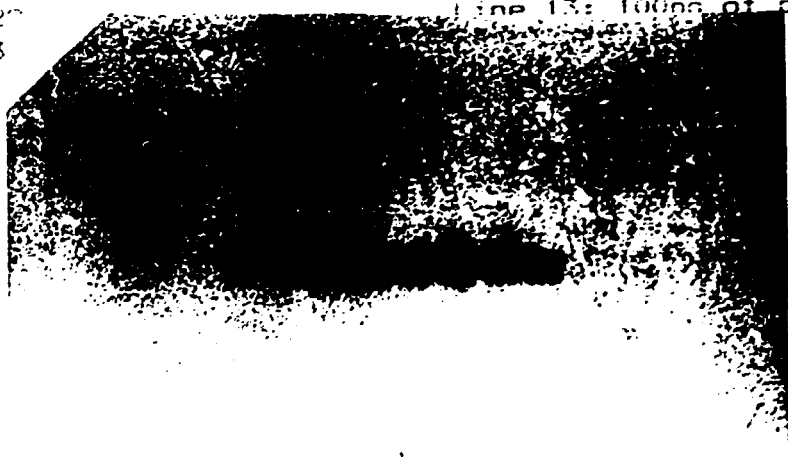


Fig. 10. Agarose gel electrophoresis analysis of the PCR products from the 13 different potato clones and the pGY14 plasmid.

Line 1: MW	Line 8: Clon Y-31
Line 2: Lineal plasmid (pGY14)	Line 9: Clon Y-32
Line 3: Untransformed plant	Line 10: Clon Y-33
Line 4: Clon Y-24	Line 11: Clon Y-34
Line 5: Clon Y-28	Line 12: Clon Y-35
Line 6: Clon Y-29	

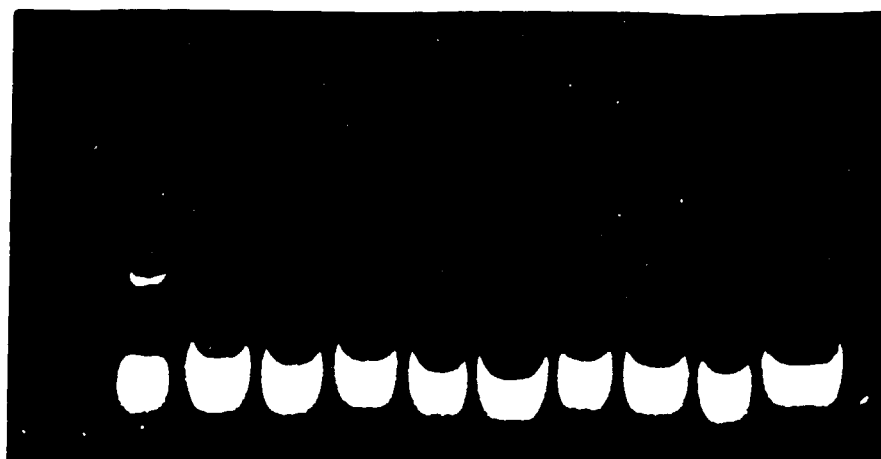


Fig. 11. PCR amplification of PLRV coat protein gene from total DNA of potato transgenic plants.

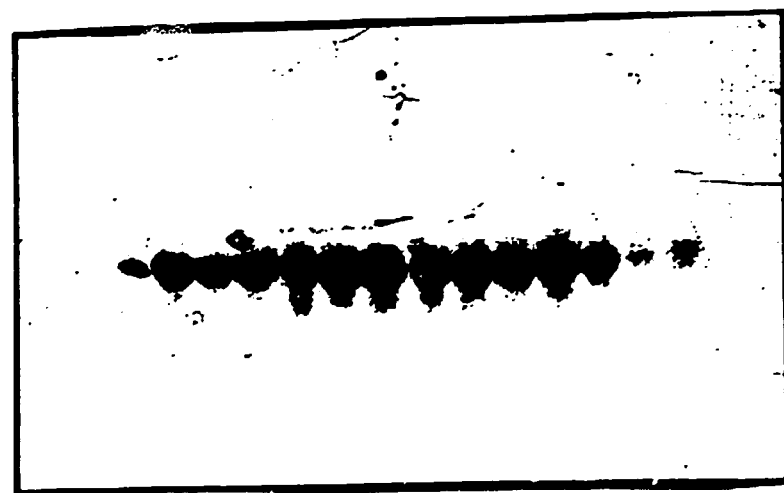


Fig. 12. Northern blot analysis of the PCR products from potato transgenic plants containing the PLRV coat protein gene.